

ОБ УСТОЙЧИВОСТИ ДЕТОНАЦИИ ЧЕПМЕНА — ЖУГЕ

В. В. Пухначев

(Новосибирск)

Изучение устойчивости плоской детонационной волны приобретает интерес в связи с явлением спиновой детонации. Механизм спиновой детонации был исследован в работах многих авторов (см., например, [1]). Тем не менее, остается открытым вопрос: почему во многих практически наблюдаемых случаях реализуется не самое простое решение уравнений гидродинамики и химической кинетики, отвечающее распространению плоской стационарной детонационной волны, а осуществляется сложное явление спиновой детонации?

Ниже делается попытка подойти к ответу на этот вопрос, опираясь на исследование устойчивости плоской стационарной детонационной волны. Аналогичный вопрос рассматривался в работах К. И. Щелкина [2], Р. М. Зайделя [3] и Дж. Дж. Эрпенбека [4]. К. И. Щелкин объясняет физическую природу неустойчивости плоской детонационной волны в рамках гипотезы о том, что химическая реакция протекает мгновенно на некотором определенном расстоянии от ударной волны. Математическое рассмотрение устойчивости детонации в модели, предложенной К. И. Щелкиным, было предпринято Р. М. Зайделем, который ограничился лишь качественным исследованием полученного в конечном виде характеристического уравнения. В строгой математической постановке обсуждаемый вопрос рассматривался Дж. Дж. Эрпенбеком. Однако в его работе не сообщается никаких конкретных результатов.

Таким образом, считаем, что вопрос о математическом исследовании устойчивости детонации Чепмена — Жуге до последнего времени оставался открытым.

**§ 1. Постановка задачи.** Рассматривается следующая математическая модель детонации. В направлении оси  $z$  в области  $z < 0$  течет идеальный совершенный газ с постоянной сверхзвуковой скоростью. В идеальной плоскости  $z = 0$  находится сильный разрыв, за которым следует зона горения. Считается, что ход химической реакции можно описать при помощи одной химической переменной — массовой концентрации непрореагировавших молекул  $\beta$ . Течение газа в области  $z > 0$  описывается системой уравнений гидродинамики и химической кинетики [5]

$$\begin{aligned} \frac{d\rho}{dt} + \rho \operatorname{div} \mathbf{u} &= 0, & \rho \frac{d\mathbf{u}}{dt} + \operatorname{grad} p &= 0 \\ \frac{dp}{dt} - \frac{\gamma p}{\rho} \frac{d\rho}{dt} + q(\gamma - 1)\rho \frac{d\beta}{dt} &= 0 & (\gamma > 1) \\ \frac{d\beta}{dt} &= -L\beta^m p^{m-1} \exp\left(-\frac{A\rho}{\mu p}\right) & (m \geq 1) \end{aligned} \quad (1.1)$$

Здесь  $\gamma$  — показатель адиабаты,  $q$  — выделение энергии в единице массы газа,  $A$  — энергия активации,  $\mu$  — средний молекулярный вес смеси,  $m$  — порядок реакции,  $L$  — положительные постоянные.

Химическая реакция заканчивается, когда достигается значение  $\beta = 0$ . Детонация называется детонацией Чепмена — Жуге, если при  $\beta = 0$  скорость потока равна местной скорости звука. Точка, где достигается это равенство, называется точкой Жуге. В рассматриваемой модели существует стационарное одномерное решение системы (1.1).

Оно описывается формулами (1.2):

$$\begin{aligned} w &= w_* (1 - cx^{-1}), & p &= p_* (1 + \gamma cx^{-1}) & \left( c = \left( \frac{2(\gamma - 1)q}{(\gamma + 1)w_*^2} \right)^{1/2} = \frac{M^2 - 1}{\gamma M^2 + 1} \right) \\ \rho &= \rho_* (1 - cx^{-1})^{-1}, & \beta &= x^{-2} \end{aligned}$$

Здесь  $w$  — скорость потока,  $M$  — число Маха в области  $z < 0$ . Индексом \* обозначены значения величин в точке Жуге. Функция  $x = x(z)$  определена соотношением

$$\int_{1/x}^1 \frac{y^{1-2m}(1-cy)}{(1+\gamma cy)^{m-1}} \exp \frac{a}{(1+\gamma cy)(1-cy)} dy = \sigma z \quad \left( a = \frac{A\rho_*}{\mu p_*}, \sigma = \frac{p_*^{m-1} L}{2w_*} \right) \quad (1.3)$$

Очевидно, что  $x(0) = 1$ ,  $x(z) \rightarrow \infty$  при  $z \rightarrow \infty$ .

Решение (1.2) всюду в области  $z > 0$  описывает дозвуковое течение. При этом условие Жуге выполняется асимптотически при  $z \rightarrow \infty$ .

В работе исследуется устойчивость основного решения (1.2) системы (1.1) по отношению к малым возмущениям.

В дальнейшем полагаем, что газ течет в круглой цилиндрической трубе радиуса  $r_0$ . Течение рассматривается в цилиндрической системе координат с осью  $z$  на оси трубы. Обозначим через  $\varepsilon u'$ ,  $\varepsilon v'$ ,  $\varepsilon w'$ ,  $\varepsilon p'$ ,  $\varepsilon \rho'$ ,  $\varepsilon \beta'$  малые возмущения радиальной, тангенциальной и аксиальной компоненты вектора скорости, давления, плотности и концентрации, сосредоточенные в дозвуковой области  $z > 0$  ( $\varepsilon$  — малый параметр).

Подставляя в уравнения (1.1) возмущенные значения величин и ограничиваясь малыми порядками  $\varepsilon$ , получаем следующую линейную систему:

$$\begin{aligned} \frac{\partial \rho'}{\partial t} + \frac{\partial}{\partial z} (\rho w' + w \rho') + \frac{\rho}{r} \left[ \frac{\partial (ru')}{\partial r} + \frac{\partial v'}{\partial \varphi} \right] &= 0 \\ \frac{\partial u'}{\partial t} + w \frac{\partial u'}{\partial z} + \frac{1}{\rho} \frac{\partial p'}{\partial r} - 0, \quad \frac{\partial v'}{\partial t} + w \frac{\partial v'}{\partial z} + \frac{1}{\rho r} \frac{\partial p}{\partial \varphi} &= 0 \quad (1.4) \\ \frac{\partial w'}{\partial t} + \frac{\partial}{\partial z} (ww') + \frac{1}{\rho} \frac{\partial p'}{\partial z} - \frac{1}{\rho^2} \frac{dp}{dz} \rho' &= 0 \\ q(\gamma - 1) \rho \left( \frac{\partial \beta'}{\partial t} + w \frac{\partial \beta'}{\partial z} \right) + q(\gamma - 1) w \frac{d\beta}{dz} \rho' + \frac{\partial \rho'}{\partial t} + \\ + w \frac{\partial \rho'}{\partial z} + \gamma \frac{dw}{dz} \rho' - \frac{\gamma p}{\rho} \left( \frac{\partial \rho'}{\partial t} + w \frac{\partial \rho'}{\partial z} + \frac{dw}{dz} \rho' \right) &= 0 \\ \frac{\partial \beta'}{\partial t} + w \frac{\partial \beta'}{\partial z} + \frac{d\beta}{dz} w' - w \frac{d\beta}{dz} \left[ \frac{m}{\beta} \beta' + \frac{m-1}{p} p' - \frac{A}{\mu p} \left( \rho' - \frac{\rho}{p} p' \right) \right] &= 0 \end{aligned}$$

Решение системы (1.4) должно удовлетворять следующим условиям:

- (1) обтекания  $u' = 0$  при  $r = r_0$ ,
- (2) регулярности при  $r \rightarrow 0$ ,
- (3) периодичности по  $\varphi$ ,
- (4) ограниченности  $u'$ ,  $v'$ ,  $w'$ ,  $p'$ ,  $\rho'$  и исчезновения  $\beta'$  при  $z \rightarrow \infty$ ,
- (5) сохранения массы, импульса, энергии и концентрации при переходе через разрыв.

Пусть уравнение возмущенной поверхности разрыва имеет вид  $z_0 = \varepsilon f(r, \varphi, t)$ . Преобразуем последнее из условий (5)

$$\begin{aligned} \beta_1 = 1 = \beta_2 = (\beta + \varepsilon \beta')_{z=z_0} &= (\beta + \varepsilon \beta')_{z=0} + \left[ \frac{\partial}{\partial z} (\beta + \varepsilon \beta')_{z=0} \right] z_0 = \\ &= 1 + \varepsilon \left( \beta' + f \frac{d\beta}{dz} \right)_{z=0} + O(\varepsilon^2) \end{aligned}$$

то с точностью до малых порядка  $\varepsilon$  эквивалентно следующему условию:

$$\beta' + f \frac{d\beta}{dz} = 0 \quad \text{при } z = 0$$

Совершая аналогичные преобразования над остальными соотношениями на разрыве, приходим к следующим условиям:

$$\begin{aligned} \rho w' + \rho w' &= (\rho - \rho_0) f_t, & u' &= (w_0 - w) f_r \\ v' &= \frac{1}{r} (w_0 - w) f_\varphi, & p' + w^2 \rho' + 2\rho w w' &= 0 \quad \text{при } z = 0 \\ [(\gamma - 1) \rho - (\gamma + 1) \rho_0] p' + [(\gamma - 1) p + & \\ + (\gamma + 1) \rho_0] [\rho' + 2(\gamma - 1) \rho^2 \beta'] &= 0 \end{aligned} \quad (1.5)$$

Здесь индексом 0 обозначены параметры невозмущенного потока в области  $z < 0$ . Для полного исследования устойчивости по линейному приближению следует, помимо условий (1.5), играющих роль краевых, задать произвольные начальные условия и исследовать поведение решения полученной смешанной задачи для системы (1.4) при  $t \rightarrow \infty$ . Однако решение задачи в такой постановке сталкивается с большими затруднениями.

Предположим, что малые возмущения течения представляют суперпозицию цилиндрических гармоник и будем изучать поведение отдельной гармоники. В этом случае уравнение возмущенной поверхности разрыва имеет вид

$$z_0 = \varepsilon r_0 \exp(\lambda r_0^{-1} w_* t + in\varphi) J_n(\xi_{nk} r r_0^{-1}) \equiv \varepsilon r_0 F(r, \varphi, t)$$

где  $\lambda$  — комплексный параметр,  $n$  — натуральное число,  $\xi_{nk}$  —  $k$ -й корень уравнения  $dJ_n(\xi)/d\xi = 0$ . Решение системы (1.4) ищем в аналогичном виде

$$\begin{aligned} w' &= w_* F(r, \varphi, t) [\sqrt{x} y_1(x) + y_2(x)], & p' &= -p_* F(r, \varphi, t) \sqrt{x} y_1(x) \\ u' &= w_* F(r, \varphi, t) r_0 \xi_{nk}^{-1} \frac{d}{dr} \ln J_n(\xi_{nk} r r_0^{-1}) y_3(x) \\ p' &= \rho_* F(r, \varphi, t) \left[ -\frac{x-c}{x+\gamma c} \sqrt{x} y_1(x) + \frac{x}{x+\gamma c} y_4(x) \right] \left( \frac{x}{x-c} \right)^2 \\ \beta' &= F(r, \varphi, t) x^{-1} y_5(x), & v' &= i w_* F(r, \varphi, t) r_0 \xi_{nk}^{-1} n r^{-1} y_6(x) \end{aligned}$$

где функция  $x = x(z)$  определена соотношением (1.3). При этом условия (1) — (3) выполняются автоматически. Из (1.4), (1.5) следует, что функция  $\psi(z) = y_3 - y_6$  удовлетворяет уравнению

$$[1 - cx(z)] \psi' + \lambda \psi = 0$$

и условию  $\psi = 0$  при  $z = 0$ , следовательно,  $\psi(z) \equiv 0$ .

Функции  $y_1(x), y_2(x), \dots, y_5(x)$  удовлетворяют следующей системе уравнений:

$$\begin{aligned} \frac{dy_1}{dx} &= \left\{ \left[ \frac{2(x+\gamma c)}{c(\gamma+1)x} - \frac{1}{x} \right] \lambda x^{2m-2} h(x) + \frac{1}{2x} - \frac{c^2(\gamma+1)}{x(x+\gamma c)(x-c)} - \right. \\ &\quad \left. - \frac{\gamma c(m-1)}{x(x+\gamma c)} - \frac{c(\gamma-1)ax}{(x+\gamma c)^2(x-c)} \right\} y_1 + \left[ \frac{x+\gamma c}{c(\gamma+1)x} \lambda x^{2m-5/2} h(x) + \right. \\ &\quad \left. + \frac{2}{(\gamma+1)x\sqrt{x}} - \frac{c}{x\sqrt{x}(x-c)} \right] y_2 + \frac{(x+\gamma c)(x-c)}{c(\gamma+1)x^2} \xi_{nk} x^{2m-5/2} h(x) y_3 + \\ &\quad + \left[ \frac{1}{(\gamma+1)\sqrt{x}(x+\gamma c)} - \frac{cax\sqrt{x}}{(x+\gamma c)^2(x-c)^2} \right] y_4 + \frac{mc}{x\sqrt{x}} y_5 \\ \frac{dy_2}{dx} &= \left[ -\lambda x^{2m-5/2} h(x) + \frac{c^2(\gamma+1)}{\sqrt{x}(x+\gamma c)(x-c)} \right] y_1 + \\ &\quad + \left[ -\lambda x^{2m-3} h(x) + \frac{c}{x(x-c)} \right] y_2 + \frac{c}{(x+\gamma c)(x-c)} y_4 \end{aligned}$$

$$\frac{dy_3}{dx} = \frac{x-c}{x} \xi_{nk} x^{2m-3} y_1 - \lambda x^{2m-3} h(x) y_3 \quad (1.6)$$

$$\begin{aligned} \frac{dy_4}{dx} = & \left[ -\frac{c^2(\gamma+1)^2}{x\sqrt{x}(x+\gamma c)} + \frac{c^2(\gamma+1)}{x\sqrt{x}(x-c)} + \frac{c^2(\gamma+1)\gamma(m-1)}{x\sqrt{x}(x+\gamma c)} + \right. \\ & \left. + \frac{c^3(\gamma+1)(\gamma-1)a\sqrt{x}}{(x+\gamma c)^2(x-c)} \right] y_1 + \left[ -\frac{2c}{x^2} + \frac{c^2(\gamma+1)}{x^2(x-c)} \right] y_2 + \\ & + \left[ -\lambda x^{2m-3} h(x) - \frac{c(\gamma+1)}{x(x+\gamma c)} + \frac{c^2(\gamma+1)ax}{(x+\gamma c)^2(x-c)^2} \right] y_4 - \frac{mc^2(\gamma+1)}{x^2} y_5 \\ \frac{dy_5}{dx} = & \left[ \frac{2}{\sqrt{x}(x-c)} + \frac{2\gamma(m-1)}{\sqrt{x}(x+\gamma c)} + \frac{2(\gamma-1)ax\sqrt{x}}{(x+\gamma c)^2(x-c)} \right] y_1 + \\ & + \frac{2}{x(x-c)} y_2 + \frac{2ax^2}{(x+\gamma c)^2(x-c)^2} y_4 + \left[ -\lambda x^{2m-3} h(x) - \frac{2m-1}{x} \right] y_5 \end{aligned}$$

Здесь

$$h(x) = \frac{1}{\sigma r_0} \left( \frac{x}{x+\gamma c} \right)^{m-1} \exp \left[ \frac{ax^2}{(x+\gamma c)(x-c)} \right]$$

Условия (4), (5) порождают для  $y_1(x), \dots, y_5(x)$  условия:

$$\begin{aligned} y_1 &= \frac{4}{\gamma+1} \lambda h(1) - \frac{c}{1-c} \\ y_2 &= -\frac{2c}{1+c} \lambda h(1), \quad y_3 = 2c \xi_{nk} h(1) \quad \text{при } x=1 \quad (1.7) \\ y_4 &= \frac{4(\gamma-1)c^3}{1+c} \lambda h(1) + \frac{c^2(\gamma+1)}{1-c}, \quad y_5 = \frac{2}{1-c} \end{aligned}$$

$$\sqrt{x} y_1(x), y_2(x), y_3(x), y_4(x) \text{ — ограничены; } \frac{1}{x} y_5(x) \rightarrow 0 \quad \text{при } x \rightarrow \infty \quad (1.8)$$

Задача свелась к определению функций  $y_1(x), \dots, y_5(x)$ , удовлетворяющих в интервале  $(1, \infty)$  системе уравнений (1.6) и условиям (1.7), (1.8) на концах этого интервала.

Эти требования, вообще говоря, не могут выполняться при произвольном значении параметра  $\lambda$ . Значение  $\lambda$ , при котором задача разрешима, назовем собственным числом. Наличие среди множества собственных чисел хотя бы одного с  $\operatorname{Re} \lambda > 0$  означает неустойчивость решения (1.2) системы (1.1). Из вещественности коэффициентов системы (1.6) и данных Коши (1.7) при вещественных  $\lambda$  следует, что множество собственных чисел симметрично относительно оси  $\operatorname{Im} \lambda = 0$ .

§ 2. Исследование асимптотического поведения решений системы (1.6) при  $x \rightarrow \infty$ . При изучении поведения решений системы (1.6) при  $x \rightarrow \infty$  рассмотрим сначала случай  $\lambda \in G_\alpha$ , где  $G_\alpha$  — область комплексной плоскости  $\lambda$ , определенная неравенствами  $|\lambda| \geq \alpha$ ,  $|\lambda - \xi_{nk}| \geq \alpha$ ,  $|\lambda + \xi_{nk}| \geq \alpha$  ( $\alpha$  — произвольное положительное число). Метод исследования основывается на работе [6]. В этом параграфе будем считать, что  $m = 1$ . Будем говорить, что функция  $f(x, \lambda)$  вещественного переменного  $x$  и комплексного переменного  $\lambda$ , определенная при  $x \geq x_0$  и  $\lambda \in G$ , где  $G$  — некоторая замкнутая область плоскости  $\lambda$ , удовлетворяет условию  $A(G, x_0)$ , если при любом  $\lambda \in G$  функция  $f(x, \lambda)$  раскладывается в ряд по степеням  $x^{-1}$  при  $x \geq x_0$ ; при любом  $x \geq x_0$  функция  $f(x, \lambda)$  аналитична по  $\lambda$  внутри области  $G$  и непрерывна на ее границе.

Введем в рассмотрение вектор  $y(x)$  с элементами  $y_i(x)$ ,  $1 \leq i \leq 5$ , и произведем в системе (1.6) линейную подстановку

$$y = My \quad (2.1)$$

Ненулевые элементы матрицы  $M$  даются формулами

$$m_{11} = m_{22} = m_{44} = m_{55} = 1 \quad (2.2)$$

$$m_{12} = -\frac{1 - \mu^2 (1 - cx^{-1})^2}{\sqrt{x} [1 - \gamma cx^{-1} + v(x, \lambda)]}, \quad m_{21} = -\frac{c(\gamma + 1)(1 + \gamma cx^{-1})}{\sqrt{x} [1 + \gamma cx^{-1} + v(x, \lambda)]}$$

$$m_{31} = \frac{c(\gamma + 1)\mu(1 - cx^{-1})(1 + \gamma cx^{-1})}{\sqrt{x} [1 + \gamma cx^{-1} - v(x, \lambda)]}, \quad m_{23} = -\frac{\mu(1 - cx^{-1})}{1 - \mu^2 (1 - cx^{-1})^2}$$

$$m_{32} = -\mu(1 - cx^{-1}), \quad m_{33} = \frac{1}{1 - \mu^2 (1 - cx^{-1})^2} \quad \left( \mu = \frac{\xi_{nk}}{\lambda} \right)$$

$$v(x, \lambda) = \sqrt{(1 + \gamma cx^{-1})^2 - x^{-1}c(\gamma + 1)(1 + \gamma cx^{-1}) [1 - \mu^2 (1 - cx^{-1})^2]}$$

Для любого  $\alpha > 0$  существует такое  $x_0(\alpha)$ , что функции  $m_{ik}(x, \lambda)$  ( $i, k = 1, \dots, 5$ ) удовлетворяют условию  $A(G_\alpha, x_0)$ .

Вычисления показывают, что вектор  $u(x)$  есть решение уравнения

$$du/dx = (w + R)u \quad (2.3)$$

в котором матрица  $w$  диагональна, а элементы матрицы  $R$

$$r_{ik}(x, \lambda) = \frac{1}{x\sqrt{x}} r_{ik}^{(1)}(x, \lambda) + \frac{1}{x^2} r_{ik}^{(2)}(x, \lambda) \quad (i, k = 1, \dots, 5) \quad (2.4)$$

где функции  $r_{ik}^{(1)}(x, \lambda)$ ,  $r_{ik}^{(2)}(x, \lambda)$  ( $i, k = 1, \dots, 5$ ) удовлетворяют условию  $A(G_\alpha, x_0)$ . Элементы  $w_j$  ( $j = 1, \dots, 5$ ) допускают представление

$$w_1 = \frac{2\lambda}{c(\gamma + 1)} h(x) [1 + x^{-1}\varphi_1(x, \lambda)] + \frac{1}{2x}, \quad w_3 = w_4 = -\frac{\lambda}{x} h(x)$$

$$w_2 = -\frac{\lambda}{2x} h(x) [1 + \mu^2 + x^{-1}\varphi_2(x, \lambda)], \quad w_5 = -\frac{\lambda}{x} h(x) - \frac{1}{x} \quad (2.5)$$

при этом функции  $\varphi_{1,2}(x, \lambda)$  удовлетворяют условию  $A(G_\alpha, x_0)$  и  $\text{Im } \varphi_{1,2}(x, \lambda) = 0$  при  $\text{Re } \lambda = 0$ . Положим  $\alpha_{ij} = \text{Re}(w_i - w_j)$  ( $i, j = 1, \dots, 5$ ). Пусть  $\varepsilon$  — произвольное положительное число и область  $G_1^{(1)}$  определена соотношениями  $\lambda \in G_\alpha$ ,  $\text{Re } \lambda \geq 0$ ,  $|\lambda| \geq (1 + \varepsilon) \xi_{nk}$ . Если  $x_0$  достаточно велико, то функции  $\alpha_{ij}(x, \lambda)$  ( $i, j = 1, \dots, 5$ ) при  $x \geq x_0$ ,  $\lambda \in G_1^{(1)}$  не меняют знака. Зафиксируем значение индекса  $j$  ( $j = 1, \dots, 5$ ) и положим в системе (2.3)

$$u_i = \eta_{ij} \exp \int_{x_0}^x w_j dx \quad (i = 1, \dots, 5) \quad (2.6)$$

Система дифференциальных уравнений для функции  $\eta_{ij}(x, \lambda)$

$$\frac{d\eta_{ij}}{dx} = [w_i(x, \lambda) - w_j(x, \lambda)] \eta_{ij} + \sum_{k=1}^5 r_{ik}(x, \lambda) \eta_{kj} \quad (i = 1, \dots, 5)$$

сводится к следующей системе интегральных уравнений:

$$\eta_{ij}(x, \lambda) = 1 - \int_x^\infty \sum_{k=1}^5 r_{jk}(t, \lambda) \eta_{kj}(t, \lambda) dt$$

если  $\alpha_{ij}(x, \lambda) \geq 0$ , когда  $\lambda \in G_1^{(1)}$ ,  $x \geq x_0$  и  $i \neq j$

$$\eta_{ij}(x, \lambda) = - \int_x^\infty \exp \int_x^t [w_j(t, \lambda) - w_i(t, \lambda)] dt \sum_{k=1}^5 r_{ik}(t, \lambda) \eta_{kj}(t, \lambda) dt$$

если  $\alpha_{ij}(x, \lambda) \leq 0$ , когда  $\lambda \in G_1^{(1)}$ ,  $x \geq x_0$  и  $i \neq j$

$$\eta_{ij}(x, \lambda) = \int_{x_0}^x \exp \int_t^x [w_i(t, \lambda) - w_j(t, \lambda)] dt \sum_{k=1}^5 r_{ik}(t, \lambda) \eta_{kj}(t, \lambda) dt \quad (2.7)$$

Систему (2.7) решаем методом последовательных приближений. Определим область  $G_1$  формулами  $\operatorname{Re} \lambda \geq 0, |\lambda| \geq \nu_0, \lambda \in G_\alpha$ . Если

$$\nu_0 > \frac{\sqrt{1 + 4s^2 \xi_{nk}^2} - 1}{2s}$$

где  $s = h(\infty)$  и  $x_0$  достаточно велико, то процесс последовательных приближений сходится при любом  $\lambda \in G_1$ . Отметим свойства решений системы (2.7).

При любом  $x \geq x_0$  функции  $\eta_{ij}(x, \lambda)$  ( $i, j = 1, \dots, 5$ ) аналитичны по  $\lambda$  внутри области  $G_1$ .

При  $x \geq x_0, \lambda \in G_1$  и  $s \in (0, \infty)$  функции  $\eta_{ij}(x, \lambda)$  ( $i, j = 1, \dots, 5$ ) удовлетворяют неравенствам

$$|\eta_{ij}(x, \lambda) - \delta_{ij}| \leq \kappa x_0^{-1/2} \quad (2.8)$$

( $i, j = 1, \dots, 5$ ) ( $\kappa = \text{const}$ )

Здесь  $\delta_{ij}$  — символ Кронекера.

Введем в рассмотрение векторы  $\eta_1 = \{\eta_{1j}\}, \dots, \eta_5 = \{\eta_{5j}\}$  и перейдем по формуле (2.6) к решению системы (2.3). Придавая индексу  $j$  значения 2, 3, 4, 5, заключаем, что при  $\lambda \in G_1$  существует четыре линейно независимых решения системы (2.3)

$$u_j(x, \lambda) = \eta_j(x, \lambda) \exp \int_{x_0}^x w_j(t, \lambda) dt, \quad (2.9)$$

удовлетворяющих условию (1.8); решения  $u_1(x, \lambda)$  при  $\lambda \in G_1$  не удовлетворяют этому условию. Аналогично строятся асимптотические представления решений системы (2.3) типа (2.9), справедливые:

в области  $G_2$  ( $\operatorname{Re} \lambda \geq 0, \lambda \in G_\alpha$ )

$$\frac{\sqrt{9 + 4s^2 \xi_{nk}^2} - 3}{2s} < \nu_1 \leq |\lambda| \leq \nu_2 < \frac{\sqrt{1 + 4s^2 \xi_{nk}^2} + 1}{2s}$$

в области  $G_3$  ( $\operatorname{Re} \lambda \geq 0, \lambda \in G_\alpha$ )

$$|\lambda| \leq \nu_3 < \frac{\sqrt{1 + 4s^2 \xi_{nk}^2} - 1}{2s}$$

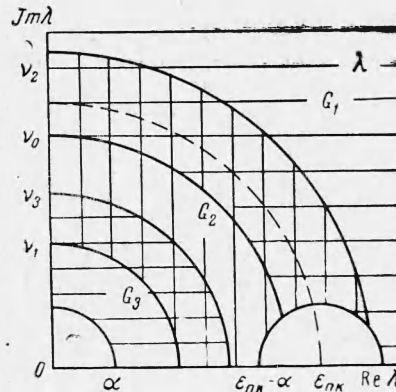
Подобные рассмотрения применимы и в случае, когда  $\operatorname{Re} \lambda < 0, \lambda \in G_\alpha$ . Значение  $\alpha > 0$  может быть взято сколь угодно малым, поэтому исследование поведения решений системы (1.6) при  $x \rightarrow \infty$  в случае  $\lambda \neq 0, \lambda \neq \pm \xi_{nk}$  завершено. Значительно труднее построить формулы, дающие асимптотическое представление решений системы (1.6) при  $|\lambda| \leq \alpha$  и  $x > X$  или при  $|\lambda + \xi_{nk}| \leq \alpha$  и  $x \geq X$ , где  $X$  не зависит от  $\lambda$ . Однако выяснить поведение решений системы (1.6) при  $x \rightarrow \infty$  в точках  $\lambda = 0, \lambda = \pm \xi_{nk}$  гораздо проще.

Если решение  $u(x, \lambda)$  системы (2.3) удовлетворяет условию (1.8), то и решение  $y(x, \lambda) = M(x, \lambda) u(x, \lambda)$  системы (1.6) удовлетворяет этому условию. Общий результат сформулируем в следующем виде:

при  $\operatorname{Re} \lambda \leq -s^{-1}$  система (1.6) имеет одно решение, удовлетворяющее условию (1.8);

при  $-s^{-1} < \operatorname{Re} \lambda < 0$  система (1.6) имеет два линейно независимых решения, удовлетворяющих условию (1.8);

при  $\operatorname{Re} \lambda \geq 0$  система (1.6) имеет четыре линейно независимых решения, удовлетворяющих условию (1.8).



Фиг. 1

**Замечание 1.** Подстановка (2.1) при произвольном  $m \geq 1$  приводит систему (1.6) в области  $G_\alpha$  к виду, в котором все коэффициенты системы, за исключением лежащих на главной диагонали, интегрируемы в интервале  $(x_0, \infty)$ . Это позволяет исследовать поведение решений системы (1.6) при  $x \rightarrow \infty$  в общем случае  $m \geq 1$ . Оказывается, что при  $m > 1$  и  $\operatorname{Re} \lambda < 0$  существует одно решение системы (1.6), удовлетворяющее условию (1.8); при  $m > 1$  и  $\operatorname{Re} \lambda \geq 0$  существует четыре линейно независимых решения системы (1.6), удовлетворяющих условию (1.8).

**Замечание 2.** Для исследования поведения решений системы (1.6) при  $x \rightarrow \infty$ , когда параметр  $\lambda$  изменяется в областях  $H_\alpha$  и  $D_\alpha$ , определенных соответственно неравенствами

$$|\lambda - \xi_{nk}| \leq \alpha < \min \left( \frac{\sqrt{1 + 4s^2 \xi_{nk}^2} + 2s \xi_{nk} - 1}{2s}, \frac{\sqrt{1 + 4s^2 \xi_{nk}^2} + 1 - 2s \xi_{nk}}{2s} \right)$$

$$|\lambda| \leq \alpha < \frac{\sqrt{1 + 4s^2 \xi_{nk}^2} - 1}{2s}, \quad |\arg \lambda| \leq \frac{\pi}{2} - \delta, \quad 0 < \delta < \frac{\pi}{2}$$

в областях  $H_\alpha$ ,  $D_\alpha$ , симметричных  $H_\alpha$ ,  $D_\alpha$  относительно мнимой оси, применяется так называемый метод эталонного уравнения. Он состоит в построении системы дифференциальных уравнений, в известном смысле близкой при больших значениях  $x$  к заданной системе, и в дальнейшем сравнении этих систем. Ввиду громоздкости полученных асимптотических представлений здесь их не приводим.

**Замечание 3.** Отметим следующее свойство множества собственных чисел: при фиксированных  $n, k$  все собственные числа сосредоточены в конечном круге плоскости  $\lambda$ . Доказательство этого факта опускается.

**§ 3. Численное решение задачи на собственные значения.** Характер краевой задачи (1.6) — (1.8) существенно различен в случаях  $\operatorname{Re} \lambda \geq 0$  и  $\operatorname{Re} \lambda < 0$ . В последнем случае задача на собственные значения, вообще говоря, не имеет решения, так как при  $\operatorname{Re} \lambda < 0$  условия (1.7), (1.8) для системы пятого порядка (1.6) эквивалентны, в общем случае, восьми однородным краевым условиям.

Задача об отыскании собственных чисел с неотрицательной вещественной частью сводится к решению уравнения

$$F(\lambda) = \operatorname{Det} \| Y(\lambda) \| = 0 \quad (3.1)$$

Здесь первый столбец матрицы  $Y(\lambda)$  представляет значения при  $x = x_0$ ,  $1 \leq x_0 < \infty$  вектор-решения задачи Коши (1.7) для системы (1.6), а последние четыре столбца матрицы  $Y(\lambda)$  суть значения при  $x = x_0$  четырех линейно независимых вектор-решений системы (1.6), удовлетворяющих (1.8).

В дальнейшем полагаем, что  $m, c, \gamma, a$  фиксированы. Непосредственно из уравнений (1.6), (3.1) следует, что зависимость собственного числа  $\lambda$  от параметров  $\xi_{nk}, s$  такова

$$\lambda = \xi_{nk} \Phi(s \xi_{nk}) \quad (3.2)$$

где  $\Phi$  — некоторая комплекснозначная функция. Введем, согласно [5], понятие эффективной ширины зоны химической реакции  $d$  и обозначим  $\delta = dr_0^{-1}$ . Параметр  $\delta$  имеет простой геометрический смысл и, как увидим, играет важную роль в вопросе об устойчивости детонации. Имеет место соотношение

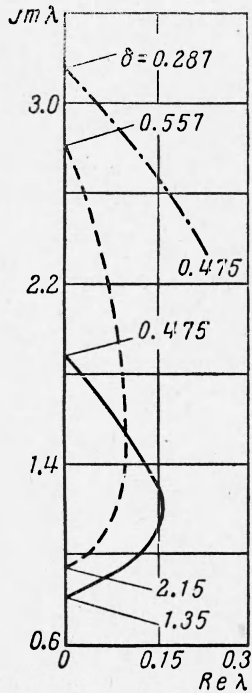
$$\delta = \frac{(1-c)^3 (1+\gamma c)^2}{ac (2\gamma c - \gamma + 1)} \exp [a (1+\gamma c)^{-1} (1-c)^{-1} - a] s \quad (3.3)$$

Из формулы (3.2) получим вид зависимости величины  $\lambda$  от  $\xi_{nk}, \delta$

$$\lambda = \xi_{nk} f(\delta \xi_{nk}) \quad (3.4)$$

где  $f$  — некоторая комплекснозначная (многозначная) функция.

Ниже приводятся результаты численного решения задачи на электронной вычислительной машине ВЦ СО АН СССР. Расчет проводился при следующих значениях параметров:  $m = 1, \gamma = 1.2, c = 0.7925, a = 8$  и переменной  $\delta$ . Зафиксировав значение  $k = 1$ , обозначим  $\lambda_n = \xi_{n1} f(\delta \xi_{n1})$  и положим  $n = 1$ . В соответствии с результа-



Фиг. 2.

тами предыдущего параграфа, при  $0 < \delta \leq 2.5$  и  $\lambda \in D_0$ , где область  $D_0$  определена соотношениями  $\operatorname{Re} \lambda \geq 0$ ,  $|\lambda| \geq 0.02$ ,  $|\lambda - \xi_{11}| \geq 0.02$ , четыре линейно независимых решения уравнения (2.3), удовлетворяющих условию (1.8), даются формулами (2.9), причем функции  $\eta_{ij}(x, \lambda)$ ,  $1 \leq i \leq 5$ ,  $2 \leq j \leq 5$ , аналитичны по  $\lambda$  внутри области  $D_0$  и непрерывны на ее границе, если  $x$  достаточно велико. Отсюда следует аналитичность функции  $F(\lambda)$  внутри области  $D_0$  при любом  $\delta$  из интервала  $(0, 2^{1/2})$ . Для того чтобы вычислить значение функции  $F(\lambda)$  в точке  $\lambda \in D_0$ , следует знать решение задачи Коши (1.7) для системы (1.6) при  $x = x_0$  и решения  $\eta_j(x_0, \lambda)$ ,  $2 \leq j \leq 5$ , системы интегральных уравнений (2.7) при  $x = x_0$ . Ввиду сложности интегральных уравнений (2.7), при их решении ограничивались членами третьего приближения, что давало ошибку в определении функций  $\eta_{ij}(x_0, \lambda)$  порядка  $x_0^{-2}$ . Численное интегрирование системы (1.6) на интервале  $(1, x_0)$  производилось по методу Адамса пятого порядка с автоматическим выбором шага.

Величина  $x_0$  выбирается из следующих соображений. Зафиксируем  $x_0$  и, численно решив уравнение (3.1), найдем приближенное значение собственного числа  $\lambda_{x_0}$ . Возьмем теперь в качестве конечной точки интегрирования  $2x_0$  и повторим указанную процедуру. Если полученное при этом значение  $\lambda_{2x_0}$  отличается от  $\lambda_{x_0}$  в пределах требуемой точности, будем считать, что выбранное значение  $x_0$  нас удовлетворяет. Если  $\lambda$  определяется с точностью до  $10^{-3}$ , в качестве  $x_0$  можно взять  $x_0 = 500$ . Определив значения функции  $F(\lambda)$  в точках замкнутого контура  $L$ , лежащего в области  $D_0$ , путем контурного интегрирования можно вычислить количество и координаты нулей функции  $F(\lambda)$ , расположенных внутри  $L$ .

При отыскании собственных чисел, расположенных в областях  $\operatorname{Re} \lambda \geq 0$ ,  $|\lambda| \leq 0.02$  и  $|\lambda - \xi_{11}| \leq 0.02$ , формулы для определения функций  $y_{ik}(x_0, \lambda)$  в левой части уравнения (3.1) необходимо надлежащим образом изменить.

Выше было отмечено, что большой интерес представляет исследование зависимости  $\lambda$  от  $\delta$ . Ввиду того что непосредственное решение уравнения (3.1) при каждом значении  $\delta$  связано с большим объемом вычислений, для численного нахождения указанной зависимости использовался следующий прием. По известным значениям  $\operatorname{Re} \lambda(\delta)$ , и  $\operatorname{Im} \lambda(\delta)$  в точках  $\delta_k = \delta_0 + k\Delta\delta$ ,  $k = 0, 1, 2$ , при помощи квадратичной экстраполяции «предсказывалось» значение  $\lambda = \lambda^*$  при  $\delta = \delta_3$ . Предсказанное значение  $\lambda^*$  уточнялось по формуле  $\lambda^{**} = \lambda^* - F(\lambda^*) / F'(\lambda^*)$ . Для численного нахождения значения  $F'(\lambda^*)$  вычислялись значения функции  $F(\lambda)$  в вершинах квадрата со стороной  $\Delta\lambda$  и центром в точке  $\lambda^*$ . Оказалось, что для определения  $\lambda$  с точностью до  $10^{-3}$  при расчетных значениях параметров  $\delta$  и  $\delta = 0.475$  можно выбрать  $\Delta\delta = \Delta\lambda = 0.02$ . С увеличением  $\delta$  величины  $\Delta\delta$ ,  $\Delta\lambda$  увеличиваются.

Расчеты, проведенные по описанной схеме, дали следующие результаты.

При  $\delta = 0.475$  существует собственное число с  $\operatorname{Re} \lambda_1 = 0$ ,  $\operatorname{Im} \lambda_1 = 1.887$ . С увеличением  $\delta$  значение  $\operatorname{Im} \lambda_1$  монотонно уменьшается, а значение  $\operatorname{Re} \lambda_1$  сначала увеличивается, а затем начинает уменьшаться и, наконец, при  $\delta = 1.35$  становится равным нулю. Зависимость величины  $\lambda$  от  $\delta$  изображена на фиг. 2 сплошной линией.

При  $\delta = 0.557$  в полуплоскости  $\operatorname{Re} \lambda \geq 0$  появляется другое собственное число, которое исчезает уже при  $\delta = 2.15$ . На фиг. 2 этому собственному числу отвечает пунктирная линия.

Расчеты показывают, что при  $\delta < 0.475$  собственных чисел с  $\operatorname{Re} \lambda_1 \geq 0$  нет. Но если перейти от  $n = 1$  к  $n = 2$ , то получим  $\lambda_2 = \xi_{21} / (\delta \xi_{11} \xi_{21} \xi_{11}^{-1})$  и при  $\delta = 0.475$  значение  $\operatorname{Re} f = 0.069 > 0$ . При дальнейшем уменьшении  $\delta$  величина  $\operatorname{Re} \lambda_2$  монотонно убывает и при  $\delta = 0.287$  обращается в нуль. На фиг. 2 эта зависимость изображена штрих-пунктирной линией. При  $\delta = 0.287$  наступает переход от  $n = 2$  к  $n = 3$ . С дальнейшим уменьшением описанный процесс можно продолжить неограниченно.

В заключение автор благодарит Л. В. Овсянникова, под руководством которого выполнялась эта работа.

Поступила 28 XI 1962.

#### ЛИТЕРАТУРА

1. Войцеховский Б. В. Детонационный сплин и стационарная детонация. Ученый совет по народнохозяйственному использованию взрыва. 1960, вып. 10.
2. Щелкин К. И. Два случая неустойчивого горения. Ж. эксперим. и теор. физ., 1959, т. 36, вып. 2.
3. Зайдель Р. М. Об устойчивости детонации в газовых смесях. Докл. АН СССР, 1961, т. 136, вып. 5.
4. Jerome J. Erpenbeck. Stability of Steady-State Equilibrium Detonations. Phys. Fluids, 1962, vol. 5, No 5.
5. Зельдович Я. Б. и Компанец А. С. Теория детонации. Гостехтеоретиздат, 1955.
6. Рапопорт И. М. О некоторых асимптотических методах в теории обыкновенных дифференциальных уравнений. Изд. АН УССР, 1954.